

# 四重 PCR 技术鉴定番茄 *Ty-1*、*Ty-2*、*Mi* 和 *Cf-5* 基因研究

刘超勤, 李景富, 许向阳, 姜景彬

(东北农业大学 园艺学院, 黑龙江 哈尔滨 150030)

**摘要:**以番茄为试材,只利用1次PCR反应体系,同时对与番茄黄化曲叶病毒病(Tomato yellow leaf curl virus)的 *Ty-1*、*Ty-2* 基因、番茄根结线虫病(Root-knot nematode)的 *Mi* 基因和番茄叶霉病(Leaf mold)的 *Cf-5* 基因紧密连锁的 SCAR 标记进行了筛选。结果表明:扩增的特异性片段和单引物扩增的片段吻合,即对与 *Ty-1* 基因、*Ty-2* 基因、*Mi* 基因和 *Cf-5* 基因紧密连锁的片段特异性扩增,所获得的片段大小分别是 395、900、750 和 960 bp。经 *TaqI* 酶切后所获得的特异性片段大小与前人试验所得大小基本相同,初步证明了四重 PCR 检测的准确性。该体系可对 *Ty-1*、*Ty-2*、*Mi* 和 *Cf-5* 4 个抗病基因进行同时筛选,在苗期辅助选择。降低了生产成本,节约时间、人力、物力,为分子标记辅助选择育种奠定了基础。

**关键词:**番茄;多重 PCR; *Ty-1*; *Ty-2*; *Mi*; *Cf-5*

**中图分类号:**S 641. 203. 6   **文献标识码:**A   **文章编号:**1001—0009(2013)09—0119—05

番茄(*Lycopersicon esculentum*)病害一直是影响番茄产业的一个重大因素,随着番茄栽培面积的扩大,番茄病害日趋严重。据统计,每年因病虫害造成的番茄减产大约为 10%~20%,严重的甚至是绝收<sup>[1]</sup>。其中番茄根结线虫病(Root-knot nematode)、番茄叶霉病(Leaf mold)是普发病害。近几年在我国大面积爆发的番茄黄化曲叶病毒病(Tomato yellow leaf curl virus)更是对我国番茄生产造成了巨大的损失。在抗番茄根结线虫病育种中,*Mi* 基因抗性是很早就被鉴定和利用的抗性之一,其具有广谱性,能够有效的抵抗除北方根结线虫以外的其它 3 种主要根结线虫<sup>[2]</sup>。番茄叶霉病是温室番茄普遍发生、危害严重的一种病害。迄今为止,世界上报道的叶霉病菌生理小种有 24 个,发现至少有 24 个基因对其有抗性。番茄抗叶霉病 *Cf-5* 基因是抗病育种中开发和利用的主要抗性基因<sup>[3]</sup>,2005 年于拴仓等<sup>[4]</sup>建立了检测 *Cf-5* 基因的 CAPS 标记。番茄黄化曲叶病毒病自 1964 年发现以来,给美国、以色列、埃及和澳大利亚、中国等国家的番茄生产造成了严重的损失,其危害在我国有继续向全国蔓延的趋势。目前对黄化曲叶病毒病抗性研究最多的是 *Ty-1*、*Ty-2* 和 *Ty-3* 基因。其中 *Ty-1* 基因定位于 6 号染色体上<sup>[5]</sup>,与 *Mi* 基因有一定的重组

率;*Ty-2* 基因定位于 11 号染色体长臂上,并将其限定在标记 TG393(103 cM) 和 TG36(84 cM) 之间<sup>[6]</sup>。该试验利用分子标记对 *Ty-1*、*Ty-2*、*Mi*、*Cf-5* 4 个基因在同一个 PCR 反应体系中同时进行筛选,旨在建立一个快速、灵敏、廉价的检测方法,为分子标记辅助选择抗性基因聚合育种提供一种有效方法。

## 1 材料与方法

### 1.1 试验材料

供试 19 份番茄材料均由东北农业大学园艺学院番茄课题组提供。其中 11001、11002、11003 是不含 *Ty-1*、*Ty-2*、*Mi* 和 *Cf-5* 基因的高度纯和自交系。11134、11135 是含有杂合的 *Ty-1*、*Ty-2*、*Mi* 和 *Cf-5* 基因的 F<sub>1</sub> 代品种。12001~12014 是自交系 F<sub>2</sub> 代。

2×*Taq* Master Mix DNA 聚合酶、*TaqI* 酶,上海莱枫生物科技有限公司。参考有关文献<sup>[7~10]</sup>,筛选出特异性较强、符合该试验要求的特异性引物(表 1)。

表 1 引物序列

Table 1 Sequences of primers used in this research

基因 Gene	引物 Primer	序列 Sequence
<i>Ty-1</i>	CAPS1 F	5'-TAATCCGTCGTTACCTCTCCTT-3'
	CAPS1 R	5'-CGGATGACTCAATAGCAATGA-3'
<i>Ty-2</i>	CAPS2 F	5'-TGGCTCATCCTGAAGCTGATAGCGC-3'
	CAPS2 R	5'-AGTGTACATCCTTGCCATTGACT-3'
<i>Mi</i>	CAPS3 F	5'-TCGGAGCCTTGGCTGAATT-3'
	CAPS3 R	5'-GCCAGAGATGATTCGTGAGA-3'
<i>Cf-5</i>	CAPS4 F	5'-AGCAGATGAAATCCCTCGGTC-3'
	CAPS4 R	5'-CCTCGCTGCTTCTTCTCCTT-3'

PCR 仪(乐胜创新);电泳仪(北京六一仪器厂);凝胶成像系统(BIO-RAD 公司)。

**第一作者简介:**刘超勤(1987-),男,硕士,研究方向为番茄种质资源的研究和利用。E-mail:chaoqin0110@163.com。

**责任作者:**李景富(1943-),男,博士,教授,博士生导师,研究方向为番茄种质资源的研究与利用。E-mail:Lijf\_2005@126.com。

**基金项目:**国家科技部“863”计划资助项目(2007AA10Z-178)。

**收稿日期:**2013—01—05

## 1.2 试验方法

1.2.1 单基因 PCR 扩增及酶切体系 参照 Williamson 等<sup>[1]</sup>的方法,用 CTAB 法提取 DNA。PCR 反应总体积为 25 μL,包括模板 1 μL,上下游引物各 1 μL,2×Taq Master Mix DNA 聚合酶 11 μL,超纯水 11 μL。PCR 反应程序如表 2。酶切体系为扩增产物 9 μL,加入 10 U 的 Taq I 酶 1 μL,Buffer 2 μL,加超纯水加至 25 μL,65℃ 保温 1.5 h。取 5 μL PCR 产物及酶切产物,用 1% 的琼脂糖凝胶电泳检测。

表 2 PCR 反应程序

Table 2 The PCR program

基因	预变性	变性	退火	延伸	保存	循环数
Ty-1	94℃ 5 min	94℃ 30 s	53.5℃ 1 min	72℃ 1 min	4℃	35
Ty-2	94℃ 5 min	94℃ 30 s	59.5℃ 1 min	72℃ 1 min	4℃	35
Mi	94℃ 5 min	94℃ 30 s	56℃ 1 min	72℃ 1 min	4℃	35
Cf-5	94℃ 5 min	94℃ 30 s	55℃ 1 min	72℃ 1 min	4℃	35

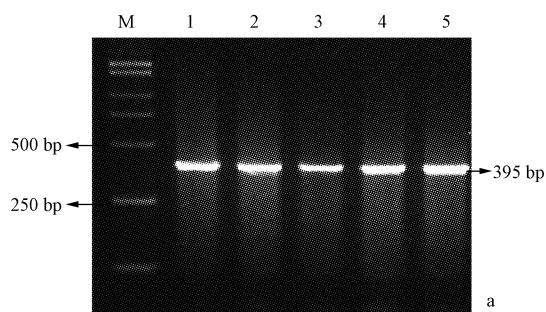


图 1 Ty-1 基因的扩增产物及 Taq I 酶切结果

注:M:DGL 2000 DNA Marker;1~5:11001、11002、11003、11134、11135。

Fig. 1 The products amplified by Ty-1 primer and digested by Taq I enzyme

Note:M:DGL 2000 DNA Marker;1~5:11001,11002,11003,11134,11135.

## 2.2 与 Ty-2 基因紧密连锁特异性片段的获得

如图 2 显示,经 Ty-2 引物扩增,含抗病基因的植株 11134、11135 扩增出 900 和 820 bp 的特异性片段,不含抗病基因的植株 11001、11002、11003 扩增出 820 bp 的特异性片段。

## 2.3 与 Mi 基因紧密连锁特异性片段的获得

如图 3a 显示,经 Mi 引物扩增,全部材料均只扩增出 750 bp 的特异性片断,经 Taq I 酶切后(图 3b),抗病材料 11134、11135 产生了 750、570 和 180 bp 的特异性片段。感病材料 11001、11002 和 11003 不被 Taq I 酶切,呈现 750 bp 的片段。

## 2.4 与 Cf-5 基因紧密连锁特异性片段的获得

如图 4a 显示,经 Cf-5 引物扩增,全部材料均只扩增出 960 bp 的特异性片断,经 Taq I 酶切后(图 4b),其中含 Cf-5 基因的材料 11134、11135 产生了 490 bp 和 256 bp 的特异性片断,不含 Cf-5 基因的材料 11001、

1.2.2 多引物 PCR 扩增及酶切体系 多引物 PCR 总体系为 25 μL,包括模板 1 μL,上下游引物各 1 μL,2×Taq Master Mix DNA 聚合酶 11 μL,超纯水 11 μL。PCR 反应程序为 94℃ 预变性 5 min,94℃ 变性 30 s,55.8℃ 退火 1 min,72℃ 延伸 1 min,35 个循环,72℃ 延伸 10 min,扩增产物 4℃ 保存。酶切体系为扩增产物 9 μL 加入 10 U 的 Taq I 酶 1 μL,Buffer 2 μL,加超纯水加至 25 μL,65℃ 保温 1.5 h。取 PCR 产物及酶切产物,用 1% 的琼脂糖凝胶电泳检测。

## 2 结果与分析

### 2.1 与 Ty-1 基因紧密连锁特异性片段的获得

如图 1a 显示,经 Ty-1 引物扩增,抗病材料和感病材料均只能扩增出 395 bp 的特异片断,经 Taq I 酶切后(图 1b),抗病材料 11134、11135 产生了 395、300 和 98 bp 的特异片段。感病材料 11001、11002 和 11003 不被 Taq I 酶切,呈现 395 bp 的片段。

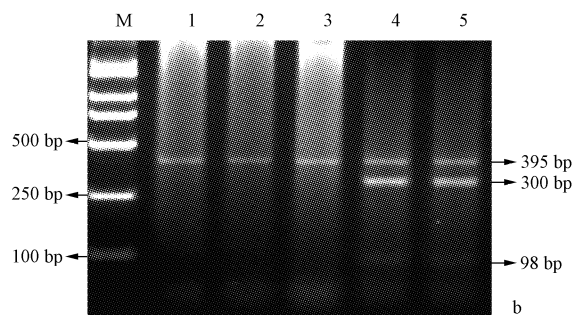


图 1 Ty-1 基因的扩增产物及 Taq I 酶切结果

注:M:DGL 2000 DNA Marker;1~5:11001、11002、11003、11134、11135。

Fig. 1 The products amplified by Ty-1 primer and digested by Taq I enzyme

Note:M:DGL 2000 DNA Marker;1~5:11001,11002,11003,11134,11135.

## 2.2 与 Ty-2 基因紧密连锁特异性片段的获得

如图 2 显示,经 Ty-2 引物扩增,含抗病基因的植株 11134、11135 扩增出 900 和 820 bp 的特异性片段,不含抗病基因的植株 11001、11002、11003 扩增出 820 bp 的特异性片段。

## 2.3 与 Mi 基因紧密连锁特异性片段的获得

如图 3a 显示,经 Mi 引物扩增,全部材料均只扩增出 750 bp 的特异性片断,经 Taq I 酶切后(图 3b),抗病材料 11134、11135 产生了 750、570 和 180 bp 的特异性片段。感病材料 11001、11002 和 11003 不被 Taq I 酶切,呈现 750 bp 的片段。

## 2.4 与 Cf-5 基因紧密连锁特异性片段的获得

如图 4a 显示,经 Cf-5 引物扩增,全部材料均只扩增出 960 bp 的特异性片断,经 Taq I 酶切后(图 4b),其中含 Cf-5 基因的材料 11134、11135 产生了 490 bp 和 256 bp 的特异性片断,不含 Cf-5 基因的材料 11001、

## 2.2 与 Ty-2 基因紧密连锁特异性片段的获得

如图 2 显示,经 Ty-2 引物扩增,含抗病基因的植株 11134、11135 扩增出 900 和 820 bp 的特异性片段,不含抗病基因的植株 11001、11002、11003 扩增出 820 bp 的特异性片段。

## 2.3 与 Mi 基因紧密连锁特异性片段的获得

如图 3a 显示,经 Mi 引物扩增,全部材料均只扩增出 750 bp 的特异性片断,经 Taq I 酶切后(图 3b),抗病材料 11134、11135 产生了 750、570 和 180 bp 的特异性片段。感病材料 11001、11002 和 11003 不被 Taq I 酶切,呈现 750 bp 的片段。

## 2.4 与 Cf-5 基因紧密连锁特异性片段的获得

如图 4a 显示,经 Cf-5 引物扩增,全部材料均只扩增出 960 bp 的特异性片断,经 Taq I 酶切后(图 4b),其中含 Cf-5 基因的材料 11134、11135 产生了 490 bp 和 256 bp 的特异性片断,不含 Cf-5 基因的材料 11001、

## 2.2 与 Ty-2 基因紧密连锁特异性片段的获得

如图 2 显示,经 Ty-2 引物扩增,含抗病基因的植株 11134、11135 扩增出 900 和 820 bp 的特异性片段,不含抗病基因的植株 11001、11002、11003 扩增出 820 bp 的特异性片段。

## 2.3 与 Mi 基因紧密连锁特异性片段的获得

如图 3a 显示,经 Mi 引物扩增,全部材料均只扩增出 750 bp 的特异性片断,经 Taq I 酶切后(图 3b),抗病材料 11134、11135 产生了 750、570 和 180 bp 的特异性片段。感病材料 11001、11002 和 11003 不被 Taq I 酶切,呈现 750 bp 的片段。

## 2.4 与 Cf-5 基因紧密连锁特异性片段的获得

如图 4a 显示,经 Cf-5 引物扩增,全部材料均只扩增出 960 bp 的特异性片断,经 Taq I 酶切后(图 4b),其中含 Cf-5 基因的材料 11134、11135 产生了 490 bp 和 256 bp 的特异性片断,不含 Cf-5 基因的材料 11001、

## 2.2 与 Ty-2 基因紧密连锁特异性片段的获得

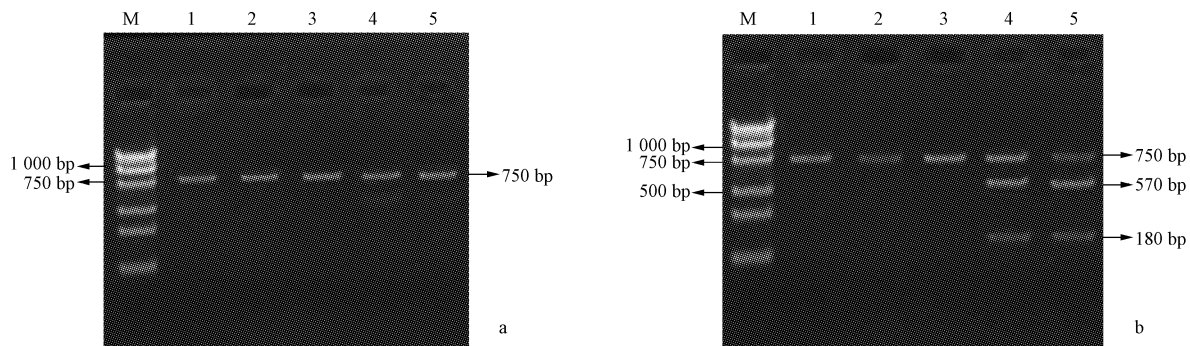
如图 2 显示,经 Ty-2 引物扩增,含抗病基因的植株 11134、11135 扩增出 900 和 820 bp 的特异性片段,不含抗病基因的植株 11001、11002、11003 扩增出 820 bp 的特异性片段。

## 2.3 与 Mi 基因紧密连锁特异性片段的获得

如图 3a 显示,经 Mi 引物扩增,全部材料均只扩增出 750 bp 的特异性片断,经 Taq I 酶切后(图 3b),抗病材料 11134、11135 产生了 750、570 和 180 bp 的特异性片段。感病材料 11001、11002 和 11003 不被 Taq I 酶切,呈现 750 bp 的片段。

## 2.4 与 Cf-5 基因紧密连锁特异性片段的获得

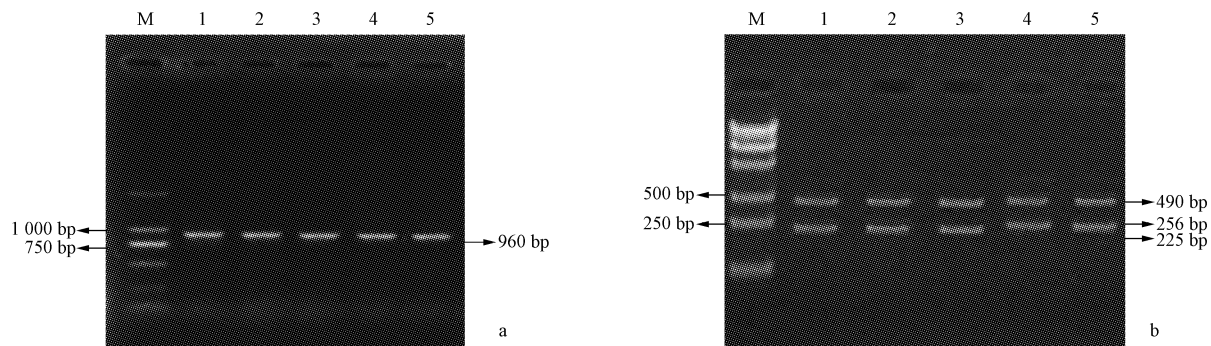
如图 4a 显示,经 Cf-5 引物扩增,全部材料均只扩增出 960 bp 的特异性片断,经 Taq I 酶切后(图 4b),其中含 Cf-5 基因的材料 11134、11135 产生了 490 bp 和 256 bp 的特异性片断,不含 Cf-5 基因的材料 11001、

图 3 *Mi* 基因扩增产物及酶切结果

注:M:DM 2000 DNA Marker;1~5:11001,11002,11003,11134,11135。

Fig. 3 The products amplified by *Mi* primer and digested by *Taq* I enzyme

Note:M:DM 2000 DNA Marker;1~5:11001,11002,11003,11134,11135.

图 4 *Cf-5* 基因扩增产物及酶切结果

注:M:DM 2000 DNA Marker;1~5:11001,11002,11003,11134,11135。

Fig. 4 The products amplified by *Cf-5* primer and digested by *Taq* I enzyme

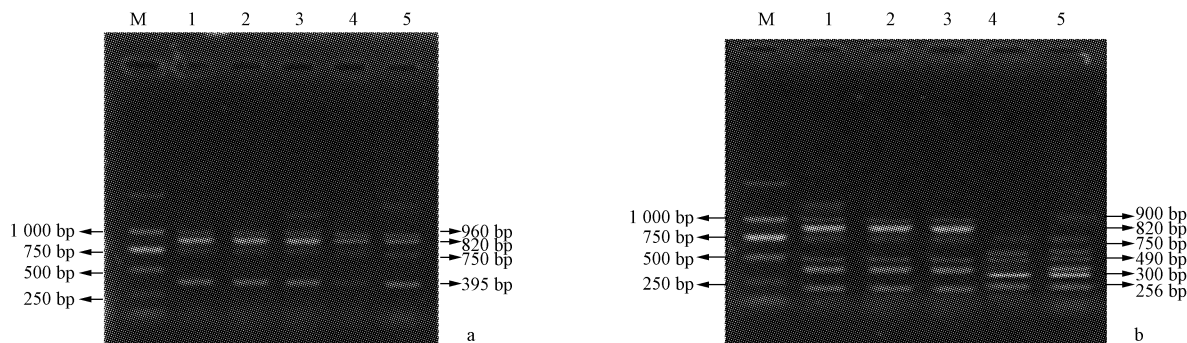
Note:M:DM 2000 DNA Marker;1~5:11001,11002,11003,11134,11135.

11002,11003 产生 490 bp 和 225 bp 的特异性片断。

## 2.5 同时检测 *Ty-1*、*Ty-2*、*Mi* 和 *Cf-5* 基因四重 PCR 体系的建立

如图 5a 显示,经 *Ty-1*、*Ty-2*、*Mi* 和 *Cf-5* 引物扩增(图 5a),与 *Ty-1* 基因紧密连锁的标记扩增出 395 bp 的特异性片段。与 *Ty-2* 基因紧密连锁的标记扩增出 900 bp 和 820 bp 的特异性片段。与 *Mi* 基因紧密连锁的标记

扩增出 750 bp 的特异性片段。与 *Cf-5* 基因紧密连锁的标记扩增出 960 bp 的特异性片段。经酶切后(图 5b),与 *Ty-1* 基因紧密连锁的标记产生了 395、300 和 98 bp 的特异性片段。与 *Ty-2* 基因紧密连锁的标记产生 1 条 480 bp 的特异性片段。与 *Mi* 基因紧密连锁的标记产生了 750、570 和 180 bp 的特异性片段。与 *Cf-5* 基因紧密连锁的标记产生了 490 和 256 bp 的特异性片断。该结

图 5 *Ty-1*、*Ty-2*、*Mi* 和 *Cf-5* 基因扩增产物及酶切结果

注:M:DM 2000 DNA Marker;1~5:11001,11002,11003,11134,11135。

Fig. 5 The products amplified by *Ty-1*, *Ty-2*, *Mi* and *Cf-5* primer and digested by *Taq* I enzyme

Note:M:DM 2000 DNA Marker;1~5:11001,11002,11003,11134,11135.

果表明,利用多重PCR可以同时扩增出各个引物的特异性片段,扩增和酶切后与单引物扩增及酶切的结果相同。因此建立的同时扩增Ty-1、Ty-2、Mi和Cf-5基因的多重PCR方法可行。

## 2.6 利用四重PCR方法对14份番茄材料进行抗性鉴定

图6为利用多重PCR技术对自交系的F<sub>2</sub>代是否

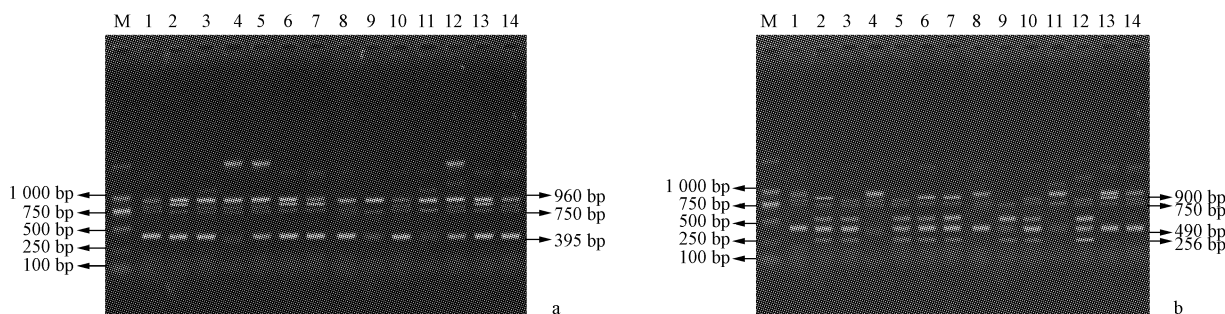


图6 四重PCR对F<sub>2</sub>材料扩增的产物和酶切结果

注:M;DM 2000 DNA Marker;1~14;1201~1214。

Fig. 6 The products amplified by quadruple PCR result of the F<sub>2</sub> seedling and digested by Taq I enzyme

Note:M;DM 2000 DNA Marker;1~14;1201~1214.

## 3 讨论

近年来,分子标记技术日趋成熟,利用分子标记辅助选择多抗番茄品种加快了育种进程。多重PCR是将多对特异性引物加入一个PCR反应体系中,对同一DNA模板的不同区域或多条模板扩增多个目的片段的PCR技术。该概念是1988年由Chamberian等<sup>[12]</sup>提出的。与普通PCR相比,多重PCR具有高效快捷、高产率、高度特异敏感、高覆盖率、低试验成本等诸多优点<sup>[13~14]</sup>。该技术在作物病虫害检测、种质纯度鉴定、植物分子育种、植物基因表达研究等方面应用广泛,成为了重要的研究方法。

该试验建立的同时扩增Ty-1、Ty-2、Mi和Cf-5基因的四重PCR技术,扩增及酶切结果与单引物扩增及酶切结果完全一致,并经过不同材料和多次重复PCR验证,稳定性可靠,可对以上4个基因同时检测。因为同时进行4对引物的扩增及酶切,在显影时小片段出现条带难以区分现象,比如经Taq I酶切后,95 bp和180 bp的片段难以观察,造成的原因可能是PCR扩增产物少,酶切反应片段过小且浓度低等<sup>[15]</sup>,但是不影响对植株抗病性鉴定。降低电泳电压、延长电泳时间,可以减轻这种现象。

综上所述,利用四重PCR反应对番茄Ty-1、Ty-2、Mi和Cf-5基因鉴定比单引物PCR覆盖率大、特异性强、操作简便、速度快,且节省大量的人力、物力,降低试验成本。为番茄抗黄化曲叶病毒病Ty-1、Ty-2基因、抗根结线虫病Mi基因和抗叶霉病Cf-5基因的聚合育种提供了有利工具。

## 参考文献

[1] 李景富.中国番茄育种学[M].1版.北京:中国农业出版社,

含有Ty-1、Ty-2、Mi和Cf-5基因的鉴定结果。其中1201、1204、1213、1214含有纯合的Ty-1和Cf-5基因,1203、1205、1210含杂合的Ty-1和Cf-5基因,1209、1212含有纯合的Ty-1和Mi基因、杂合的Cf-5基因,1202、1206、1207含有纯合的Ty-2和Cf-5基因,1208含有纯合Ty-1基因。

- 2011;264:264-265.
- [2] 彭德良.蔬菜线虫病害的发生和防治[J].中国蔬菜,1998(4):57-58.
- [3] 韩文华,许文奎,刘石磊,等.番茄叶霉病生理小种分化及抗病育种研究进展[J].辽宁农业科学,2005(5):34-37.
- [4] 于拴仓,柴敏,郑晓鹰.番茄叶霉病抗性基因Cf-5的CAPS标记建立[J].分子植物育种,2005,3(1):57-60.
- [5] Zamir D,Ekstein-Michelson I,Zakay Y,et al. Mapping and introgression of a tomato yellow leaf curlvirus tolerance gene, Ty-1[J]. Theor Appl Genet, 1994,88:141-146.
- [6] Hanson P M,Green S K,Kuo G. Ty-2,a gene on chromosome 11 conditioning Gemini virus resistance in tomato[J]. Rep Tomato Genet Coop, 2006,56:17-18.
- [7] 于力,朱龙英,万延慧,等.多重PCR技术鉴定番茄Ty-1和Mi基因[J].上海农业学报,2009,25(2):6-9.
- [8] 宋燕,陈丽静,李君明,等.利用多重PCR反应同时筛选番茄Tm-2<sup>2</sup>和Mi基因[J].植物遗传资源学报,2006,7(2):165-16.
- [9] 许爽,褚云霞,张辉,等.多重PCR技术鉴定番茄Ty-2和Ty-3基因及田间验证[J].分子植物育种,2009,7(5):954-958.
- [10] 于力,朱龙英,万延慧,等.利用多重PCR反应同时筛选番茄Ty-1和Cf-5基因[J].上海农业学报,2009,25(2):6-9.
- [11] Williamson V M,Ho J Y,Wu F F,et al. A PCR-based marker tightly linked to the nematode resistance gene,Mi,in tomato[J]. Theor Appl Genet, 1994,87:757-763.
- [12] Chamberian J S,Gibbs R A,Ranier J E,et al. Detection screening of the duchenne muscular dystrophy locus via multiplex DNA amplification[J]. Nucl Acids Res,1988,16:1141-1156.
- [13] 崔玉娟,胡丹东.多重PCR技术在植物学研究中的应用[J].天水师范学院学报,2008;28(5):43-45.
- [14] Kirschberg O,Schuttler C,Repp R,et al. A Multiplex-PCR to Identify Hepatitis B Virus-genotypes A-F[J]. J Clin Virol,2004,29(1):39-43.
- [15] 李君明,陈丽静,宋燕.利用多重PCR反应同时筛选番茄Tm-2<sup>2</sup>和Mi基因[J].农业生物技术学报,2005,13(6):698-702.

# 改良 CTAB 法提取番石榴总 DNA 的初步研究

赵志常, 陈业渊, 高爱平, 罗石荣, 黄建峰

(中国热带农业科学院 热带作物品种资源研究所, 农业部华南作物基因资源与种质创制重点开发实验室, 海南 儋州 571737)

**摘要:**以番石榴为试材,采用 CTAB、SDS 和改良的 CTAB 法分别从新鲜的番石榴叶片中提取 DNA,并对其进行琼脂糖凝胶电泳检测和 SCoT-PCR 分析。结果表明:3 种方法均可以从番石榴的叶片中提取 DNA,但改良的 CTAB 方法通过加入漂洗液 2 次洗涤,能够较好的去除样品中的多酚、多糖和蛋白质等物质,可以较好的从新鲜的叶片中提取较高质量的 DNA,并可以用于 SCoT-PCR 标记分析。

**关键词:**改良 CTAB; 番石榴; DNA 提取

**中图分类号:**S 667.9   **文献标识码:**A   **文章编号:**1001—0009(2013)09—0123—03

番石榴(*Psidium guajava* L.)属桃金娘科(Myrtaceae)番石榴属(*Psidium*)植物,俗称鸡屎果、芭乐、翻桃子、番桃、拔子、鸡屎拔,又名秋果(《南越笔记》)、鸡矢果、林拔、拔仔、椰拔、木八子、喇叭番石榴、番鬼子、百子树、罗拔、花稔、饭桃、番桃树、郊桃、番稔等。番石榴是一种适应性很强的热带果树,原产美洲热带地区,16~17 世纪传播至热带及亚热带地区,如北美洲、大洋洲、新西兰、太平洋诸岛、印度尼西亚、印度、马来西亚、北非、越南等,大约 17 世纪末传入中国。现台湾、海南、广东、广西、福

**第一作者简介:**赵志常(1977-),男,山东烟台人,博士,副研究员,现主要从事热带果树的遗传育种等研究工作。

**收稿日期:**2013—01—16

建、云南、江西等省均有栽培。番石榴果形有球形、椭圆形、卵圆形及洋梨形,果皮普通为绿色、红色、黄色,果肉有白色、红色、黄色等,其肉质非常柔软,肉汁丰富,味道甜美,可溶性固形物在为 8%~11%,富含大量的钾、铁、胡萝卜素等物质,营养极其丰富,是养颜美容、减肥的最佳水果;同时叶片和幼果切片晒干泡茶喝,可辅助治疗糖尿病。其果实不但可以鲜食,还可以加工为果汁、果酱、果脯,同时还可制作成盆景,具有广阔的市场前景,是目前港澳台和东南亚地区最畅销的水果之一。目标起始密码子多态性(Start codon targeted polymorphism,SCoT)分子标记技术是 Collard 和 Mackill 开发的一种基于单引物扩增反应(Single primer amplification reaction,SPAR)的新型目标分子标记技术<sup>[1]</sup>,其原理是

## Study on Identification of Ty-1 Gene, Ty-2 Gene, Mi Gene and Cf-5 Gene by Quadruple PCR in Tomato

LIU Chao-qin, LI Jing-fu, XU Xiang-yang, JIANG Jing-bin

(College of Horticulture, Northeast Agricultural University, Harbin, Heilongjiang 150030)

**Abstract:** Taking *Lycopersicon esculentum* as material, Ty-1, Ty-2, Mi and Cf-5 in tomato tightly linked with four SCAR markers respectively resistant to Tomato Yellow Leaf Curl virus, root-knot nematode and tomato leaf mold were amplified and screened by using a single PCR reaction. The results showed that the PCR products were identical with one amplified by a single SCAR primer. Among them, four SCAR markers tightly linked with Ty-1, Ty-2, Mi and Cf-5 genes produced 395, 900, 750 and 960 bp bands. Cleaved with the restriction enzyme *Taq* I, these specific fragments produced almost unanimously the same size with the others. Preliminary proved the veracity of quadruple PCR. The accurate results proved that Ty-1, Ty-2, Mi and Cf-5 resistant genes could be identified simultaneously by using under adaptable condition. Quadruple PCR could be very important for marker-assisted selection during early stage in tomato. Also could reduce production costs, time saving and less labor. If could reasonable used, it will become an important method of breeding work.

**Key words:** tomato; multi-PCR; Ty-1; Ty-2; Mi; Cf-5